A SHORT PROOF OF THE KURATOWSKI GRAPH PLANARITY CRITERION

A. Skopenkov [1]

arXiv:0802.3820v2 [math.GT] 23 Aug 2009

Abstract. This paper is purely expositional. The statement of the Kuratowski graph planarity criterion is simple and well-known. However, its classical proof is not easy. In this paper we present the Makarychev proof (with further simplifications by Prasolov, Telishev, Zaslavski and the author) which is possibly the simplest. In the Russian version we present before the proof all the necessary definitions, and afterwards we state some close results on graphs and more general spaces. The paper is accessible for students familiar with the notion of a graph, and could be an interesting easy reading for mature mathematicians.

We consider graphs without loops and multiple edges. A graph is called *planar* if it can be drawn in the plane without self-intersections.

The Kuratowski Theorem. *A graph is planar if and only if it does not contain a subgraph homeomorphic to* K_5 *or to* $K_{3,3}$.

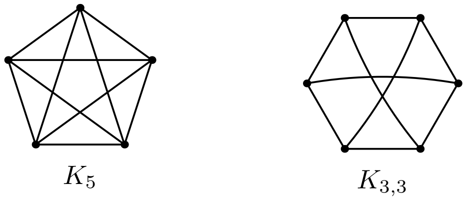

The Kuratowski graphs

For definition of homeomorphic graphs, as well as for a short proof of the 'only if' part of the Kuratowski theorem see [Pr04]. For results related to this theorem see either the Russian version of this text or [Cl34, Cl37, Ep66, GHV79, HJ64, Ku00, MS67, MA41, RS90, RS99, Sa91, Sk95, Sk08, Sk, Wh33].

Let us give a simple proof of the 'if' part of the Kuratowski theorem. This proof is based on [Ma97], cf. [Th81], with further simplifications by Prasolov, Telishev, Zaslavski and the author. Suppose to the contrary that there is a non-planar graph not containing any subgaphs homeomorphic to K_5 or $K_{3,3}$. Among such graphs choose a graph G *with minimal number of edges, not containing isolated vertices.*

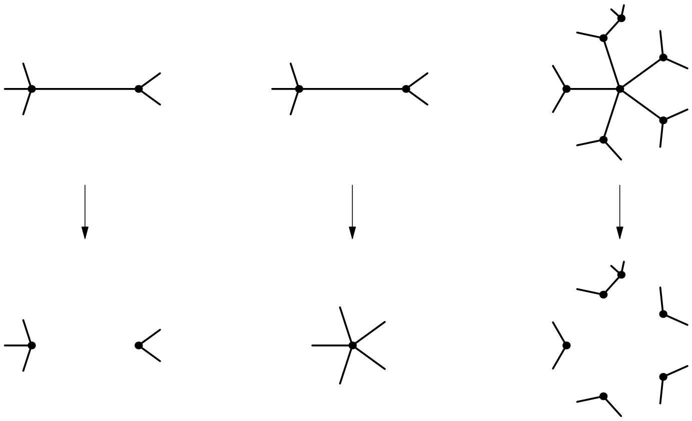

Deletion of an edge: $G-e$, contraction of an edge: G/e, and deletion of a vertex: $G-x$

---

[1] http://dfgm.math.msu.su/people/skopenkov/papersc.ps

Lemma on Deletion of Ends of an Edge. *For each edge xy of the graph G*

(a) From each vertex of $G-x-y$ at least two edges are issuing.

(b) The graph $G-x-y$ does not contain a θ-graph, i.e. a graph homeomophic to letter θ (i.e. to $K_{3,2}$).

Lemma on the Kuratowski Graphs. *For each graph K the following three conditions are equivalent:*

(1) For each edge xy of K the graph $K-x-y$ does not contain θ-graphs, and from each vertex of $K-x-y$ at least two edges are issuing.

(2) For each edge xy of the graph K the graph $K-x-y$ is a cycle (containing $n \geq 3$ vertices).

(3) K is isomorphic either to K_5 or to $K_{3,3}$.

By the Lemma on Deletion of Ends of an Edge together with implication (1) $\Rightarrow$ (3) of the Lemma on the Kuratowski Graphs it follows that the graph G is isomorphic either to K_5 or to $K_{3,3}$. This contradiction completes the proof.

The non-trivial part of the stated lemmas is only part (b) of the Lemma on Deletion of Ends of an Edge, which is proved at the end. The implications (3) $\Rightarrow$ (2) $\Rightarrow$ (1) in the Lemma on the Kuratowski Graphs are clear and are not used in the proof of the Kuratowski theorem.

Proof of part (a) of the Lemma on Deletion of Ends of an Edge. The graph $G-x-y$ does not contain isolated vertices because out of an isolated vertex of $G-x-y$ there issue at most two edges of the graph G, which is impossible.

The graph $G-x-y$ does not contain hanging vertices. Indeed, if p is a hanging vertex of $G-x-y$, then it is joined both to x and to y in G, because in G out of each vertex there issues at least three edges. The graph $G-(xy)$ is planar by the minimality of G (because G contains neither K_5 nor $K_{3,3}$). Draw the graph $G-(xy)$ in the plane without self-intersections and add the edge xy along the edges px and py. We obtain a drawing of G in the plane without self-intersections. Contradiction. QED

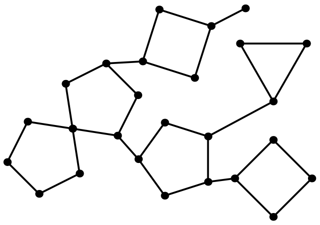

A 'tree' of cycles

Proof of the implication (1) $\Rightarrow$ (2) *in the Lemma on the Kuratowski Graphs.* (1) implies that $K-x-y$ is a disjoint union of 'trees' whose 'vertices' are cycles. Therefore $K-x-y$ contains a 'hanging' cycle, i.e. a cycle C having only one common vertex v with the remaining graph. This cycle C has at most two other vertices p and q. Since $K-x-y$ does not contain isolated vertices, from each vertex of K there issue at least three edges. Hence each of these vertices p and q is joined either with x or with y. Therefore in the union of C and the edges of K joining vertices x, y, p, q we can find a θ-subgraph. Hence by (1) each edge of $K-x-y$ has an end on C. Since by (1) the graph $K-x-y$ does not contain hanging vertices, this graph coincides with C. QED

Proof of the implication (2) $\Rightarrow$ (3) *in the Lemma on the Kuratowski Graphs.* If $n=3$ then for each two vertices b and c of the cycle $K-x-y$ the graph $K-b-c$ is a cycle, hence the remaining vertex of the cycle $K - x - y$ is joined (by an edge of K) both to x and to y. Hence $K = K_5$.

If $n \geq 4$, then take any four consecutive vertices a, b, c, d of the cycle $K - x - y$. Since $K - b - c$ is a cycle, in the graph K one of the vertices a or d is joined (by an edge) to x (and not joined to y), the other is joined to y (and not joined to x), whereas the vertices of the cycle $K - x - y$ different from a, b, c, d (which do not exist when $n = 4$) are not joined neither to x nor to y. For $n \geq 5$ we obtain a contradiction. For $n = 4$ we see that the four vertices of the cycle $K - x - y$ are joined to x and to y one after the other, hence $K = K_{3,3}$. QED

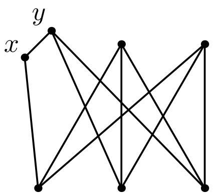

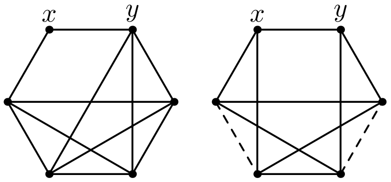

'Uncontraction of an edge' in the Kuratowski graphs

Proof of part (b) in the Lemma on Deletion of Ends of an Edge. The statement '*graph G contains a subgraph homeomorphic to the graph H*' will be abbreviated to '$G \supset H$'. If $G/xy \supset K_{3,3}$ then $G \supset K_{3,3}$, and if $G/xy \supset K_5$ then $G \supset K_5$ or $G \supset K_{3,3}$ (fig. 3). Thus the planarity of G/xy follows by the minimality of G.

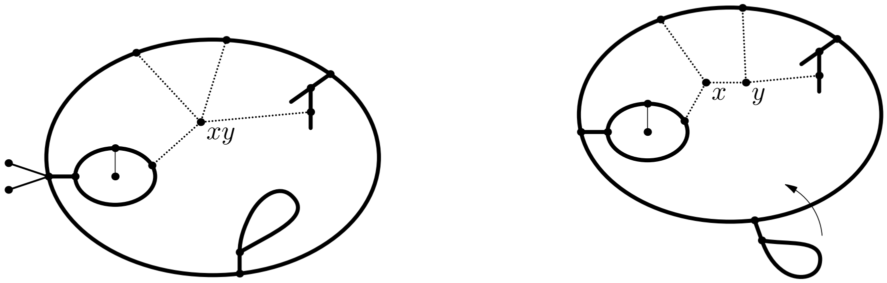

Drawings of the graphs G/xy and G in the plane

Draw the graph G/xy in the plane without self-intersections. Drawing of the graph $G - x - y = G/xy - xy$ in the plane is obtained by deleting the edges of G/xy issuing out of the vertex xy. Take the face of (the image of) $G/xy - xy$ that contains the vertex xy of the graph G/xy. Denote by B the boundary of this face.

Note that *the boundary of a face cannot contain a θ-subgraph.*

(This statement could be derived from the Jordan Curve Theorem. Another proof could be obtained supposing the contrary. If the boundary of a face contains a θ-subgraph, then take a point inside this face and join it by three edges to three points on three 'arcs' of the θ-subgraph. We obtain a drawing of $K_{3,3}$ in the plane without self-intersections. Contradiction.)

So it suffices to prove that $G - x - y = B$. Suppose this is not so. Then edges of $G - x - y - B$ are contained in a face of $G/xy - xy$ not containing the vertex xy. Hence the graph B splits the plane. Therefore there is a cycle $C \subset B$ such that xy is (without loss of generality) inside C and certain edge of $G - x - y - B$ outside C.

Denote by R the union of all the edges of G/xy lying outside C. (Note that $G-x-y-B-R$ could be non-empty.) We may assume that R is a subgraph of G. The graph $G - R$ could be drawn in the plane without self-intersections.

We may assume that the edges of G issuing out of x or y are inside the cycle C. Since B is a boundary of a face, B does not contain a θ-subgraph. Hence each connected component of $B - C$ intersects C in at most one point. Therefore we can shift each connected component of $B - C$ (together with corresponding edges of $G - x - y - B - R$) to the interior of C. So we may assume that $B - C$ and $G - x - y - B - R$ are inside C. Then $G - R$ is inside C.

Draw R outside C like for the drawing of G/xy. We obtain drawing of G in the plane without self-intersections. This contradiction shows that $G - x - y$ is the boundary of a face and so cannot contain a θ-subgraph. QED

References

[Cl34] S. Claytor, Topological immersions of peanian continua in a spherical surface, Ann. of Math. 35 (1934), 809–835.

[Cl37] S. Claytor, Peanian continua not embeddable in a spherical surface, Ann. of Math. 38 (1937) 631–646.

[Ep66] D. B. A. Epstein, Curves on 2-manifolds and isotopies, Acta Math. 115 (1966) 83–107.

[GHW79] H. H. Glover, J. P. Huneke and C. S. Wang, 103 graphs that are irreducible for the projective plane, J. Comb. Th., 27:3 (1979) 332–370.

[HJ64] R. Halin and H. A. Jung, Karakterisierung der komplexe der Ebene und der 2-Sphäre, Arch. Math. 15 (1964) 466–469.

[Ku00] V. A. Kurlin, Basic embeddings into products of graphs, Topol. Appl. 102 (2000) 113–137.

[Ma97] Yu. Makarychev, A short proof of Kuratowski's graph planarity criterion, J. of Graph Theory, 25 (1997) 129–131.

[MS67] S. Mardešić and J. Segal, ε-mappings and generalized manifolds, Michigan Math. J. 14 (1967) 171–182.

[MA41] S. McLane and V. W. Adkisson, Extensions of homeomorphisms on the spheres, Michig. Lect. Topol., Ann Arbor, (1941) 223–230.

[Pr04] V. Prasolov, Elements of combinatoril and differential topology, AMS translations.

[RS99] D. Repovs and A. Skopenkov, New results on embeddings of polyhedra and manifolds into Euclidean spaces (in Russian), Uspekhi Mat. Nauk, 54:6 (1999) 61–109. English transl.: Russ. Math. Surv. 54:6 (1999), 1149–1196.

[RS90] N. Robertson and P. D. Seymour, Graph minors VIII, A Kuratowski graph theorem for general surfaces, J. Comb. Theory, 48B (1990) 255–288.

[Sa91] K. S. Sarkaria, Kuratowski complexes, Topology, 30 (1991) 67–76.

[Sk95] A.Skopenkov, A description of continua basically embeddable in $\mathbf{R^2}$, Topol. Appl. 65 (1995) 29–48.

[Sk08] A. Skopenkov, Embedding and knotting of manifolds in Euclidean spaces, in: Surveys in Contemporary Mathematics, Ed. N. Young and Y. Choi London Math. Soc. Lect. Notes, 347 (2008) 248–342. arxiv:math/0604045

[Sk] A. Skopenkov, Algebraic topology from an elementary viewpoint, in Russian, MCCME, Moscow, to appear. arXiv:0808.1395

[Th81] C. Thomassen, Kuratowski's theorem, J. Graph. Theory, 5 (1981) 225–242.

[Wh33] H. Whitney, Planar graphs, Fund. Math. 21 (1933) 73–84.

ВОКРУГ КРИТЕРИЯ КУРАТОВСКОГО ПЛАНАРНОСТИ ГРАФОВ [2]

А.Б. Скопенков [3]

Аннотация. Формулировка критерия Куратовского планарности графов хорошо известна (все необходимые понятия и эта формулировка напомнены далее). Однако его классическое доказательство сложно и приводится не во всех книгах по теории графов. В настоящем тексте приводится доказательство Макарычева [Ma97] (с дальнейшими упрощениями, сделанными Заславским, Прасоловым, Телишевым и автором). По-видимому, оно является наиболее простым (ср. [Th81, §5]; Юрий Макарычев придумал свое доказательство, еще будучи школьником!). Перед доказательством критерия Куратовского приводятся необходимые определения и факты теории графов, а после — близкие результаты.

Планарные графы

Граф называется *планарным*, если его можно без самопересечений нарисовать на плоскости. Например, любое дерево и любой граф, образованный вершинами и ребрами некоторого выпуклого многогранника — планарные. А графы K_5 и $K_{3,3}$ (см. рис.) не являются планарными. Это можно доказать путем небольшого перебора с использованием следующей теоремы [Pr04, §1, Теорема 1.3]. (Доказательство непланарности графа K_5, основанное на понятии коэффициента пересечения, см. в [BE82, Sk05, Pr04, §1].)

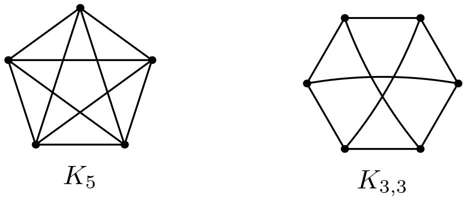

Графы Куратовского

Теорема Жордана. *Замкнутая несамопересекающаяся кривая (т.е. цикл) делит плоскость ровно на две части. (При этом одна часть ограничена, другая неограничена, причем две точки плоскости, не принадлежащие кривой, лежат в одной части тогда и только тогда, когда их можно соединить ломаной, не пересекающей кривой).*

Обсуждение и доказательство этой теоремы см., например, в [An03].

Плоским графом называется изображение графа на плоскости без самопересечений. Иногда такое изображение называют просто графом, но это неточно, поскольку планарный граф можно изобразить (без самопересечений) на плоскости разными способами.

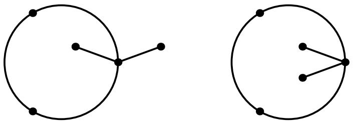

Различные изображения графа на плоскости

Из теоремы Жордана следует, что *любой плоский граф разбивает плоскость на конечное число связных частей.* Эти части называются *гранями* плоского графа.

Формула Эйлера. *Для связного плоского графа с V вершинами, E ребрами и F гранями имеем $V - E + F = 2$.*

---

[2] Настоящий текст является дополненной версией статьи [Sk05]. Благодарю М.Н. Вялого, А.А. Заславского, Д.А. Пермякова, В.В. Прасолова и А.А. Телишева за полезные замечания и обсуждения, М.Н. Вялого и издательство МЦНМО за подготовку рисунков, а также Б. Мохара и С.В. Матвеева за предоставленные ссылки.

[3] http://dfgm.math.msu.su/people/skopenkov/papersc.ps

Доказательство и применения этой теоремы см., например, в [Pr04].

Грубо говоря, *подграф* данного графа — это его часть. Формально, граф G называется *подграфом* графа H, если множество вершин графа G содержится в множестве вершин графа H и каждое ребро графа G является ребром графа H. При этом две вершины графа G, соединенные ребром в графе H, не обязательно соединены ребром в графе G.

Ясно, что любой подграф планарного графа планарен.

Грубо говоря, графы изоморфны, если они одинаковы (при этом их изображения на плоскости могут быть разными). Формально, графы G_1 и G_2 (без петель и краьных ребер) называются *изоморфными*, если существует взаимно-однозначное отображение $f : V_1 \to V_2$ множества V_1 вершин графа G_1 на множество V_2 вершин графа G_2, удовлетворяющее условию: *вершины* $A, B \in V_1$ *соединены ребром в том и только в том случае, если вершины* $f(A), f(B) \in V_2$ *соединены ребром.*

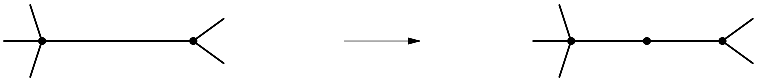

Подразделение ребра

Операция *подразделения ребра* графа показана на рисунке. Два графа называются *гомеоморфными*, если от одного можно перейти к другому при помощи операций подразделения ребра и обратных к ним. Или, эквивалентно, если существует граф G, полученный из обоих данных графов операциями подразделения ребра.

Ясно, что гомеоморфные графы являются или не являются планарными одновременно.

Теорема Куратовского. *Граф является планарным тогда и только тогда, когда он не содержит подграфа, гомеоморфного графу* K_5 *или* $K_{3,3}$.

Эта теорема объявлена также замечательным советским математиком Львом Семеновичем Понтрягиным (доказательство не опубликовано), а также Фринком и Смитом. Поэтому иногда ее называют теоремой Понтрягина-Куратовского. В 1920-е годы Карл Менгер объявил, что *граф, степень каждой вершины которого равна 3, является плоским тогда и только тогда, когда он не содержит подграфа, гомеоморфного графу* $K_{3,3}$. Читатель может попытаться самостоятельно доказать этот факт (вытекающий из теоремы Куратовского). Кроме теоремы Куратовского, существует много других критериев планарности графов [Th81]. Огромный интерес к поиску критерия планарности графов объясняется, в частности, наличием одной из величайших математических гипотез — гипотезы четырех красок [Pr04, §1]. Она утверждает, что вершины любого плоского графа можно правильно раскрасить в 4 цвета. Раскраска вершин (граней) плоского графа называется *правильной*, если любые две соседние вершины (грани) окрашены в разные цвета.

Простое доказательство критерия Куратовского

Необходимость в теореме Куратовского уже доказана. Приведем доказательство достаточности. Будем рассматривать графы без петель и кратных ребер. Предположим, напротив, что существует непланарный граф, не содержащий подграфов, гомеоморфных K_5 или $K_{3,3}$. Среди всех таких графов выберем граф G *с минимальным числом ребер, не содержащий изолированных вершин.*

Лемма об удалении концов ребра. *Для любого ребра* xy *графа* G

(a) Из каждой вершины графа $G - x - y$ *выходит не менее двух ребер.*

(b) Граф $G-x-y$ *не содержит* θ*-графа, т.е. графа, гомеоморфного букве* θ *(т.е. графу* $K_{3,2}$*).*

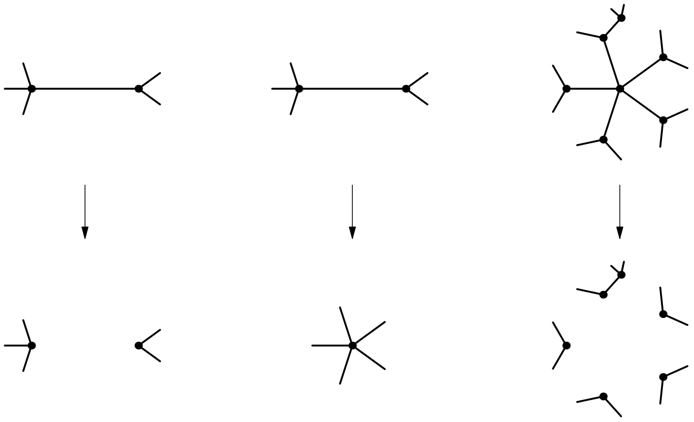

Рис. 1: Удаление ребра $G - e$, стягивание ребра G/e и удаление вершины $G - x$

Лемма о графах Куратовского. *Для произвольного графа K следующие три условия равносильны:*

(1) Для любого ребра xy графа K граф $K - x - y$ не содержит θ-графа, и из каждой вершины графа $K - x - y$ выходит не менее двух ребер.

(2) Для любого ребра xy графа K граф $K - x - y$ является циклом (содержащим $n \geq 3$ вершин).

(3) K изоморфен K_5 или $K_{3,3}$.

Из леммы об удалении концов ребра вместе с импликацией (1) ⇒ (3) леммы о графах Куратовского вытекает, что граф G изоморфен K_5 или $K_{3,3}$. Полученное противоречие завершает доказательство.

В сформулированных леммах нетривиальна только часть (b) леммы об удалении концов ребра, которую мы докажем в самом конце. Импликации (3) ⇒ (2) ⇒ (1) в лемме о графах Куратовского очевидны и не используются в доказательстве теоремы Куратовского.

Доказательство части (a) леммы об удалении концов ребра. В графе $G - x - y$ нет изолированных вершин, поскольку из изолированной вершины графа $G - x - y$ выходит не более двух ребер графа G, что невозможно.

В графе $G - x - y$ нет и висячих вершин. Действительно, если p — висячая вершина графа $G - x - y$, то она соединена и с x, и с y в графе G, поскольку в графе G из каждой вершины выходит не менее трех ребер. Граф $G - (xy)$ планарен по минимальности графа G (поскольку G не содержит ни K_5, ни $K_{3,3}$). Нарисуем граф $G - (xy)$ на плоскости без самопересечений и 'подрисуем' ребро xy вдоль ребер px и py. Получим изображение графа G на плоскости без самопересечений. Противоречие. QED

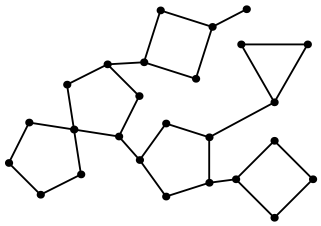

Рис. 2: 'Дерево' из циклов

Доказательство импликации (1) $\Rightarrow$ (2) *в лемме о графах Куратовского.* Из (1) следует, что граф $K-x-y$ представляет собой одно или несколько 'деревьев', 'вершинами' которых служат циклы (рис. 2). Поэтому в графе $K-x-y$ существует 'висячий' цикл, т.е. цикл C, имеющий с остальным графом только одну общую вершину v. В этом цикле C есть еще по крайней мере две вершины p и q. Так как в графе K нет вершин, из которых выходит менее трех ребер, то каждая из этих вершин p и q соединена либо с x, либо с y. Поэтому в объединении цикла C и ребер графа K, соединяющих вершины x, y, p, q, можно выделить θ-подграф. Значит, по (1) каждое ребро графа $K-x-y$ имеет конец на цикле C. Поскольку по (1) граф $K-x-y$ не содержит висячих вершин, то он совпадает с циклом C. QED

Доказательство импликации (2) $\Rightarrow$ (3) *в лемме о графах Куратовского.* При $n=3$ для любых двух вершин b и c цикла $K-x-y$ граф $K-b-c$ является циклом, поэтому оставшаяся вершина цикла $K-x-y$ соединена (ребром) в K и с x, и с y. Поэтому $K=K_5$.

При $n \geq 4$ возьмем любые четыре соседние вершины a, b, c, d цикла $K-x-y$. Поскольку граф $K-b-c$ является циклом, то в K одна из вершин a и d соединена с x (и не соединена с y), другая соединена с y (и не соединена с x), а отличные от a, b, c, d вершины цикла $K-x-y$ (которых нет при $n=4$) не соединены ни с x, ни с y. При $n \geq 5$ получаем противоречие. При $n=4$ получаем, что четыре вершины цикла $K-x-y$ соединены с x и y попеременно, откуда $K=K_{3,3}$. QED

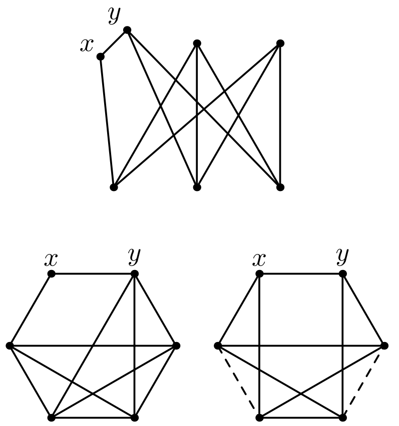

Рис. 3: 'Растягивание ребра' в графах Куратовского

Доказательство части (b) леммы об удалении концов ребра. Утверждение '*граф G содержит подграф, гомеоморфный графу H*' будем сокращенно записывать в виде '$G \supset H$'. Если $G/xy \supset K_{3,3}$, то $G \supset K_{3,3}$, а если $G/xy \supset K_5$, то $G \supset K_5$ или $G \supset K_{3,3}$ (рис. 3). Поэтому из минимальности графа G следует планарность графа G/xy.

Нарисуем без самопересечений на плоскости граф G/xy (рис. 4). Изображение графа $G-x-y=G/xy-xy$ на плоскости получается стиранием ребер графа G/xy, выходящих из вершины xy. Обозначим через B границу той грани (изображения) графа $G/xy-xy$, которая содержит вершину xy графа G/xy.

Заметим, что *граница грани не может содержать θ-подграфа.*

(Это утверждение можно вывести из теоремы Жордана. Другое доказательство получается от противного: если граница грани содержит θ-подграф, то возьмем точку внутри этой грани и соединим ее тремя ребрами с тремя точками на трех 'дугах' θ-подграфа. Получим изображение графа $K_{3,3}$ на плоскости без самопересечений. Противоречие.)

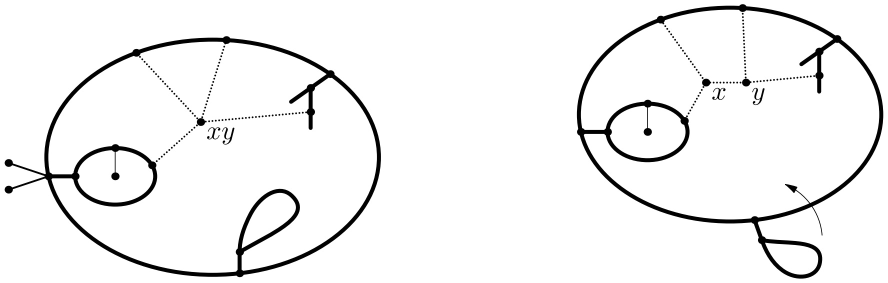

Рис. 4: Изображение на плоскости графов G/xy и G

Поэтому достаточно доказать, что $G-x-y=B$. Пусть это не так. Тогда ребра графа $G-x-y-B$ находятся в грани графа $G-x-y=G/xy-xy$, не содержащей вершины xy. (Удаление подграфа означает удаление всех его ребер и всех вершин, из которых выходят только ребра этого подграфа.) Значит, граф B разбивает плоскость. Поэтому найдется цикл $C\subset B$, относительно которого вершина xy лежит (не уменьшая общности) внутри, а некоторое ребро графа $G-x-y-B$ — вне.

Обозначим через R объединение всех ребер графа G/xy, лежащие вне цикла C. (Заметим, что $G-x-y-B-R$ может быть непустым.) Можно считать, что R — подграф в G. Граф $G-R$ можно нарисовать на плоскости без самопересечений (рис. 4).

Можно считать, что ребра графа G, выходящие из x или y, лежат внутри цикла C. Поскольку B граница грани, то B не содержит θ-подграфа. Значит, каждая компонента связности графа $B-C$ пересекается с C не более чем по одной точке. Поэтому можно перекинуть каждую компоненту связности графа $B-C$ (вместе с соответствующими ребрами из $G-x-y-B$) внутрь цикла C. Значит, можно считать, что $B-C$ и $G-x-y-B$ лежат внутри цикла C. Итак, граф $G-R$ нарисован в цикле C.

Нарисуем R вне C, как для изображения графа G/xy (рис. 4). Получим изображение графа G на плоскости без самопересечений. Полученное противоречие доказывает, что $G-x-y$ есть граница грани и поэтому не содержит θ-подграфа. QED

Другое доказательство того, что G изоморфен K_5 или $K_{3,3}$ (без использования импликации (2) $\Rightarrow$ (3) *в лемме о графах Куратовского).* Поскольку граф G не имеет вершин степени 1 или 2, то любая вершина цикла $G-x-y$ соединена либо с x, либо с y. Если вершина u цикла $G-x-y$ соединена с x и не соединена с y, то соседняя с u вершина v цикла не соединена с x (поскольку в противном случае граф $G-vx$ планарен по минимальности графа G, значит, мы можем добавить ребро vx к вложенному в плоскость графу $G-vx$ и получить вложение в плоскость графа G). Поэтому либо *любая вершина цикла $G-x-y$ соединена в G и с x, и с y*, либо *вершины цикла $G-x-y$, соединенные с x и соединенные с y, чередуются вдоль этого цикла.* В первом случае $G=K_5$, во втором $G=K_{3,3}$.

Задача. Придумайте алгоритм распознавания планарности графа, основанный на приведенном доказательстве, и оцените его сложность. [4]

---

[4] Для этого может пригодиться следующее изменение приведенного доказательства, не содержащее предположения о противном и поэтому не включающее работы с несуществующими объектами. Граф, полученный из графа G произвольной последовательностью операций удаления ребра или вершины или стягивания ребра, называется *минором* графа G. Ясно, что минор плоского графа является плоским. Можно доказывать теорему Куратовского в эквивалентной формулировке, полученной из следующего факта: *граф не содержит подграфа, гомеоморфного K_5 или $K_{3,3}$ $\Leftrightarrow$ граф не имеет минора, изоморфного K_5 или $K_{3,3}$*. Пусть G — *неплоский граф, любой минор которого плоский.* Достаточно доказать, что G изоморфен K_5 или $K_{3,3}$, что делается аналогично приведенным выше рассуждениям.

Запрещенные подсистемы

Если некоторая подсистема системы N не реализуема в другой системе M, то и N не реализуема в M. Естественная идея — попытаться найти список 'запрещенных' систем $N_1, \dots, N_k$, не реализуемых в M, со следующим свойством:

для того, чтобы система N была реализуема в M необходимо и достаточно, чтобы N не содержал ни одной из этих 'запрещенных' подсистем.

Классический пример теоремы такого рода — теорема Куратовского. Так можно описать графы, вложимые в любую данную поверхность [RS90], а также много других классов графов или более общих обьектов (например, графы и даже пеановские континуумы, *базисно* вложимые в плоскость [Sk95, Ku00]). [5] Приведем формулировки некоторых результатов (доказательства оставляем читателю в качестве задач). Те формулировки, в которых встречаются неизвестные читателю объекты, он может игнорировать.

Теорема Шартрана-Харари. *Граф G можно нарисовать на плоскости без самопересечений так, чтобы он был границей некоторой* одной *грани тогда и только тогда, когда G не содержит θ-подграфа.*

Назовем несамопересекающийся цикл C в связном графе G *граничным*, если существует изображение без самопересечений графа G на плоскости, при котором цикл C изображается границей некоторой грани. Следующий результат можно вывести из теоремы Куратовского, ср. [Cl34].

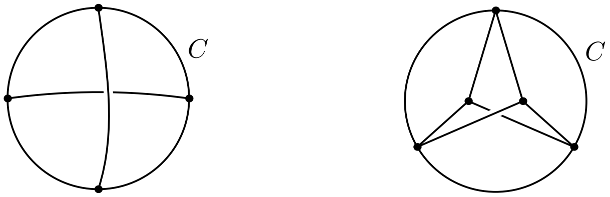

Рис. 5: Цикл C не может быть границей внешней грани

Относительная версия теоремы Куратовского. *Цикл C является граничным тогда и только тогда, когда граф G планарен и цикл C не содержится в подграфе графа G, как на рис. 5.*

А вот следующий результат проще доказывать, не используя теорему Куратовского (подробнее см. [Sk, глава 1]).

Теорема о 8 и θ. *Граф G с заданными циклами ребер, выходящих из каждой вершины, можно так изобразить без самопересечений на плоскости, чтобы указанные циклы шли по часовой стрелке, тогда и только тогда, когда G не содержит 'восьмерки' или 'буквы θ' с циклами, изображенными на рис. 6.*

Два вложения (т.е. изображения без самопересечений) f, g одного и того же графа в плоскость называются *изотопными*, если одно можно так непрерывно продеформировать в другое, чтобы в процессе деформации мы все время имели бы вложение (формальное определение см., например, в [Ma07]).

---

[5] Заметим, что список запрещенных подграфов для вложимости графа в лист Мебиуса содержит целых 103 графа [GHW79]. Даже *существование* такого конечного списка для произвольной поверхности доказывается сложно [AH89, RS90]. Список запрещенных полиэдров бесконечен для вложимости двумерных полиэдров в $\mathbf{R^3}$ или n-мерных полиэдров в $\mathbf{R^{2n}}$, где $n \geq 2$ [Sa91]. Поэтому интересны другие препятствия к вложимости. Заметим, что одно из самых полезных препятствий строится с помощью *конфигурационного пространства* упорядоченных пар различных точек данного пространства [RS99, Sk08].

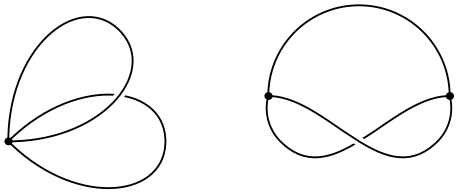

Рис. 6: Графы с циклическими порядками, не реализуемыми на плоскости

Теорема Маклейна-Эдкиссона. *Два вложения связного графа в плоскость изотопны тогда и только тогда, когда их сужения на любой триод T и на любой несамопересекающийся цикл S^1 изотопны (т.е. не таковы, как на рис. 7)* [MA41].

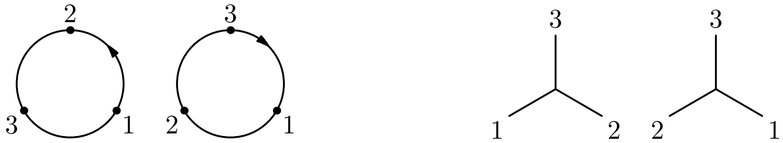

Рис. 7: Различные вложения триода и окружности в плоскость

Эту теорему удобно сначала доказать для деревьев, а потом свести общий случай к случаю деревьев путем выделения максимального дерева.

Теорема Маклейна-Эдкиссона справедлива также для *полиэдра* или даже *пеановского континуума* [MA41].

Теорема Маклейна-Эдкиссона (без утверждения в скобках) справедлива для вложений в сферу, тор и другие сферы с ручками (доказательство аналогично). Заметим, что любая изотопия графа на поверхности объемлема [С. В. Матвеев, частное сообщение].

Теорема Баэра-Эпштейна. *Две замкнутые несамопересекающиеся кривые на двумерном многообразии гомотопны тогда и только тогда, когда они изотопны* [Ep66].

Теорема Эпштейна сводит вопрос о классификации вложений окружности в двумерное многообразие N (и, тем самым, произвольного графа в сферу с ручками и дырками) к вопросу о реализуемости элементов фундаментальной группы $\pi_1(N)$ вложенными окружностями. Но последний вопрос очень сложен.

Задача. Граф называется (вершинно) *k-связным*, если он остается связным после удаления любой $k-1$ вершины и распадается после удаления некоторых k вершин. Выведите из теоремы Маклейна-Эдкиссона следующие утверждения.

Любое вложение произвольного трехсвязного графа в сферу может быть получено из любого другого композицией изотопии и осевых симметрий.

Любое вложение двусвязного графа в сферу может быть получено из любого другого композицией изотопии и 'переворачиваний блоков' (рис. 8).

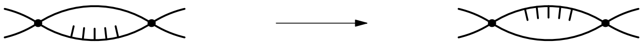

Рис. 8: Переворачивание блока

Определите операции, при помощи которых можно получить любое вложение 1-связного ($\Leftrightarrow$ связного) графа в сферу из любого другого. Сделайте то же и для 0-связного ($\Leftrightarrow$ произвольного) графа. Таким образом получится другое описание вложений графов в плоскость с точностью до изотопии [Wh33].

Приложение: планарность полиэдров и континуумов

Полиэдр (синоним: тело симплициального комплекса) — это многомерный аналог графа. Определение см., например, в [Pr04, §8, Ma07]. Уже двумерные полиэдры — интересные и сложные объекты, про которые имеется несколько знаменитых и трудных нерешенных проблем [Ma07]. Поэтому удивительно, что имеется следующий результат.

Теорема Халина-Юнга. *Связный полиэдр вложим в S^2 тогда и только тогда, когда он не содержит графов K_5, $K_{3,3}$ или 'зонтика' U^2 (рис. 9)* [HJ64, MS67].

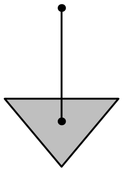

Рис. 9: Зонтик

В этом результате интересна лишь часть 'тогда' и лишь для двумерных полиэдров. Следующее доказательство (видимо, являющееся фольклорным) проще представленного в [HJ64] и тем более в [MS67].

Набросок доказательства части 'тогда'. Пусть связный 2-полиэдр $N \not\cong S^2$ не содержит ни графов K_5, $K_{3,3}$, ни зонтика U. Так как N не содержит зонтика, то окрестность любой точки в N является объединением дисков и отрезков, склеенных за одну точку (рис. 10 слева). Если этих дисков больше одного, то заменим эту окрестность на изображенную на рис. 10 справа.

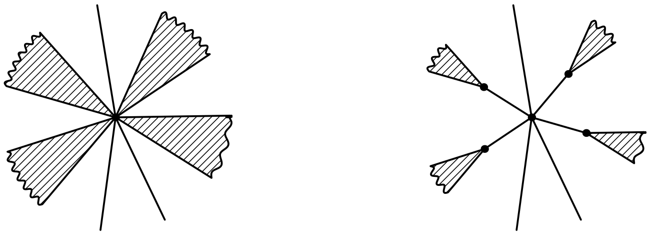

Рис. 10: Преобразование окрестности точки

При этом преобразовании не появится подграфов K_5 и $K_{3,3}$; Обратное преобразование является стягиванием 'звезды с несколькими лучами' и поэтому сохраняет планарность. Значит, достаточно доказать теорему для полученного 2-полиэдра. Рассмотрим объединение $\bar{N}$ его двумерных граней. Тогда окрестность любой точки в $\bar{N}$ является диском. Значит, по теореме классификации поверхностей $\bar{N}$ является сферой с ручками, пленками Мебиуса и дырками. Поскольку каждый из графов K_5 и $K_{3,3}$ вложим и в тор с дыркой, и в лист Мебиуса, то $\bar{N}$ есть несвязное объединение дисков с дырками. Заменим каждый из этих дисков с дырками на граф с рис. 11. Полученный граф планарен. По вложению этого графа в плоскость легко построить вложение полиэдра N в плоскость. QED

В терминах запрещенных подсистем можно также описать 'компактно бесконечные графы' (т.е. локально связные континуумы), вложимые в плоскость. *Континуум* — компактное связное метрическое пространство. Континуумы естественно появляются при изучении динамических систем (даже гладких!). Континуум называется *локально связным*

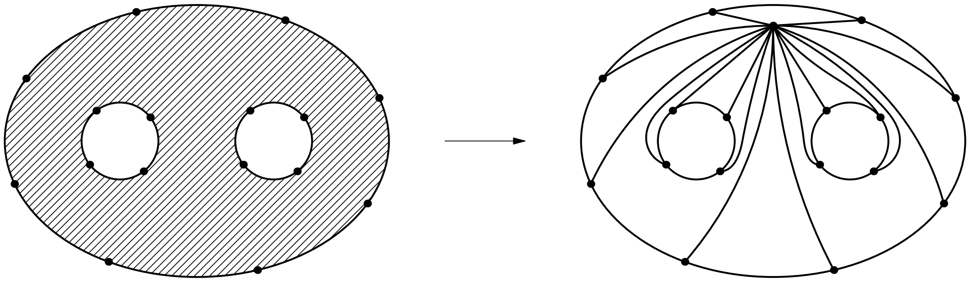

Рис. 11: Преобразование диска с дырками

(или континуумом Пеано), если для любой его точки x и ее окрестности U существует такая меньшая окрестность V точки x, что любые две точки из V соединяются некоторым путем, целиком лежащим в U (или, эквивалентно, если он является непрерывным образом дуги). Локально связные континуумы могут быть очень сложно устроены. Поэтому удивительно, что имеется следующий результат.

Теорема Клэйтора. *Пеановский континуум вложим в* S^2 *тогда и только тогда, когда он не содержит континуумов* K_5, $K_{3,3}$, C_{K_5} *и* $C_{K_{3,3}}$ *(рис. 12)* [Cl34, Cl37].

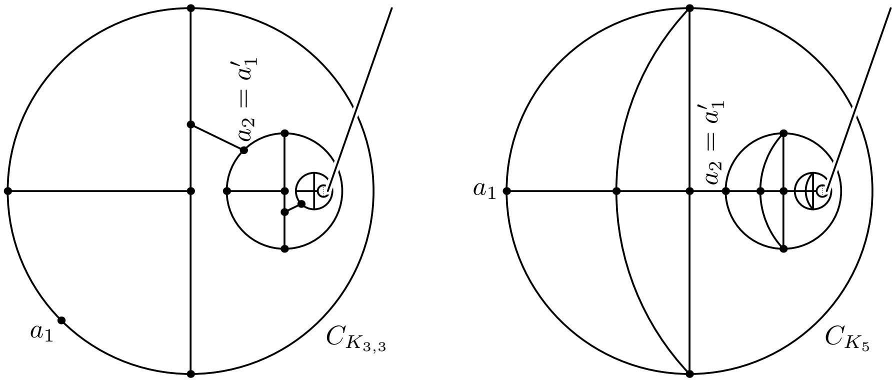

Рис. 12: Континуумы Куратовского

Построение континуумов C_{K_5} *и* $C_{K_{3,3}}$. Возьмем ребро ab графа K_5 и отметим на нем новую вершину a'. Пусть $P = K_5 - (aa')$. Пусть P_n копия графа P. Обозначим через a_n и a_n' вершины графа P_n, соответствующие a и a'. Положим

$$C_{K_5} := (P_1 \bigcup_{a_1'=a_2} P_2 \bigcup_{a_2'=a_3} P_3 \dots) \bigcup_{x=0} I,$$

где $\{P_n\}$ — последовательность графов на плоскости со стремящимися к нулю диаметрами, сходящаяся к точке $x \notin \sqcup_{n=1}^{\infty} P_n$. Точно так же можно определить континуум $C_{K_{3,3}}$, взяв в начале $K_{3,3}$ вместо K_5.

Доказательство невложимости в теореме Клэйтора. Докажем невложимость C_{K_5} (доказательство невложимости $C_{K_{3,3}}$ аналогично). Пусть, напротив, $f : C_{K_5} \to \mathbf{R^2}$ — вложение. Обозначим через $S := P - a - a'$ окружность в P, составленную из ребер, не содержащих вершин a и a'. Аналогично определим $S_n \subset P_n$.

Так как S_n сходится к $x = 0$, то $f1$ лежит вне fS_n для достаточно большого n.

Так как fI — путь между $f0$ и $f1$, лежащий вне fS_n, то $f0$ лежит вне fS_n.

Так как S_n сходится к $x = 0$, то fS_m лежит вне fS_n и fS_l лежит вне fS_m для достаточно больших $m < l$. Но тогда fa_m и fa'_m лежат вне fS_m. Это противоречит тому, что для любого вложения $g : P \to \mathbf{R^2}$ точки ga и ga' лежат по разные стороны от образа gS. QED

Отметим, что в теореме Куратовского можно заменить плоскость $\mathbf{R^2}$ на сферу S^2. В теоремах Халина-Юнга и Клэйтора можно заменить S^2 на $\mathbf{R^2}$, только добавив запрещенный подполиэдр или подконтинуум S^2.

Литература

[An03] Д. В. Аносов, Отображения окружности, векторные поля и их применения, МЦНМО, Москва, 2003.

[AH89] D. Archdeacon and P. Huneke, A Kuratowski theorem for non-orientable surfaces, J. Comb. Th., Ser. B, 46 (1989) 173–231.

[BE82] В. Г. Болтянский и В. А. Ефремович, Наглядная топология, Наука, Москва, 1982.

[Cl34] S. Claytor, Topological immersions of peanian continua in a spherical surface, Ann. of Math. 35 (1934), 809–835.

[Cl37] S. Claytor, Peanian continua not embeddable in a spherical surface, Ann. of Math. 38 (1937) 631–646.

[Ep66] D. B. A. Epstein, Curves on 2-manifolds and isotopies, Acta Math. 115 (1966) 83–107.

[GHW79] H. H. Glover, J. P. Huneke and C. S. Wang, 103 graphs that are irreducible for the projective plane, J. Comb. Th., 27:3 (1979) 332–370.

[HJ64] R. Halin and H. A. Jung, Karakterisierung der komplexe der Ebene und der 2-Sphäre, Arch. Math. 15 (1964) 466–469.

[Ku00] V. A. Kurlin, Basic embeddings into products of graphs, Topol. Appl. 102 (2000) 113–137.

[Ma07] С. В. Матвеев, Алгоритмическая топология и классификация трехмерных многообразий, МЦНМО, Москва, 2007.

[Ma97] Yu. Makarychev, A short proof of Kuratowski's graph planarity criterion, J. of Graph Theory, 25 (1997) 129–131.

[MS67] S. Mardešić and J. Segal, ε-mappings and generalized manifolds, Michigan Math. J. 14 (1967) 171–182.

[MA41] S. McLane and V. W. Adkisson, Extensions of homeomorphisms on the spheres, Michig. Lect. Topol., Ann Arbor, (1941) 223–230.

[Pr04] В. В. Прасолов, Элементы комбинаторной и дифференциальной топологии, МЦНМО, Москва, 2004.

[RS99] Д. Реповш и А. Скопенков, Новые результаты о вложениях полиэдров и многообразий в евклидовы пространств, УМН 54:6 (1999) 61–109.

[RS90] N. Robertson and P. D. Seymour, Graph minors VIII, A Kuratowski graph theorem for general surfaces, J. Comb. Theory, 48B (1990) 255–288.

[Sa91] K. S. Sarkaria, Kuratowski complexes, Topology, 30 (1991) 67–76.

[Sk95] A.Skopenkov, A description of continua basically embeddable in $\mathbf{R^2}$, Topol. Appl. 65 (1995) 29–48.

[Sk05] А. Скопенков, Вокруг критерия Куратовского планарности графов, Мат. Просвещение, 9 (2005), 116–128 и 10 (2006), 276–277. http://www.mccme.ru/free-books/matprosa.html

[Sk08] A. Skopenkov, Embedding and knotting of manifolds in Euclidean spaces, in: Surveys in Contemporary Mathematics, Ed. N. Young and Y. Choi London Math. Soc. Lect. Notes, 347 (2008) 248–342. arXiv:math/0604045

[Sk] А. Скопенков, Алгебраическая топология с элементарной точки зрения, МЦНМО, Москва, в печати, arXiv:math/0808.1395

[Th81] C. Thomassen, Kuratowski's theorem, J. Graph. Theory, 5 (1981) 225–242.

[Wh33] H. Whitney, Planar graphs, Fund. Math. 21 (1933) 73–84.